

東京理工専門学校 ○正員 趙 力采  
東大生産技術研究所 正員 小林一輔

### 1. はしがき

従来より、鋼纖維補強コンクリートの強化則に関するところでは、纖維間隔説と混合則に基くものの2つの考え方がある。筆者らは既に鋼纖維補強モルタルの引張強度(又はひびわれ開始応力)と纖維間隔の平方根の逆数との間に線形関係が成立することを確かめ、纖維間隔説の妥当性を示した。一方、鋼纖維補強コンクリートの場合は比較的複合体のひずみが小さい段階でひびわれを生じて、纖維とマトリックスにおける弾性ひずみが等しいという混合則の適用条件が失われるところからも適用に無理があると思われる。本文は鋼纖維補強コンクリートの引張強度及び曲げ強度に及ぼす纖維の直径、長さ、アスペクト比、纖維混入率ならびに木セメント比の影響を検討し、これらの結果に基き鋼纖維補強コンクリートの引張強度及び曲げ強度の推定式を提案したものである。

### 2. 実験の概要

コンクリートの配合は $S/a$ を一定(60%)とし、粗骨材の最大寸法は $5 \times 5 \times 35\text{cm}$ 曲げ供試体の場合の $7\text{mm}$ を除き、全て $10\text{mm}$ とした。引張試験は中央部断面が $10 \times 6\text{cm}$ 長さ $40\text{cm}$ の平行部を持つ供試体を用い、曲げ試験は三等分点載荷方法(スパン $30\text{cm}$ )により実施した。

### 3. 実験結果

#### (1) 繊維の長さとアスペクト比の影響

図1～2はそれぞれ纖維混入率( $P=2\%$ )と纖維の直径を一定として、広範に長さの異なる(即ちアスペクト比の異なる)纖維を用いた場合の引張強度と曲げ強度の変化を示したものである。これらの図より明らかなことは、纖維の直径が一定の場合、1)引張強度に及ぼす纖維の長さ又はアスペクト比の影響は比較的小さい、2)曲げ強度はそれらが大きくなるに従って著しく増大することである。

#### (2) 繊維の直径の影響

引張強度に及ぼす纖維の直径の影響は図1から明らかのようにアスペクト比が一定( $l/d=60$ )の場合、纖維の直径が小さくなるに従って強度が増大することがわかる。一方、図2はアスペクト比が一定( $l/d=30$ )で直径の異なる纖維を用いた場合の纖維混入率と曲げ強度の関係を示したものである。図より、明らかのように曲げ強度もアスペクト比が一定の場合、纖維の直径が細いものを用いた方が補強効果が大きいことがわかる。

#### (3) コンクリートマトリックスの強度の影響

図4は木セメント比を広範に変化させたコンクリート中にせん断マイバーをそれぞれ $1\%$ ,  $2\%$ ,  $2.5\%$ 混入した場合の引張強度と纖維間隔( $S$ )の平方根の逆数( $1/\sqrt{S}$ )との関係を示したものである。この図から、鋼纖維補強コンクリートの引張強度に関しては、マトリックス自体の強度と鋼纖維による補強分に分けて考えることがで

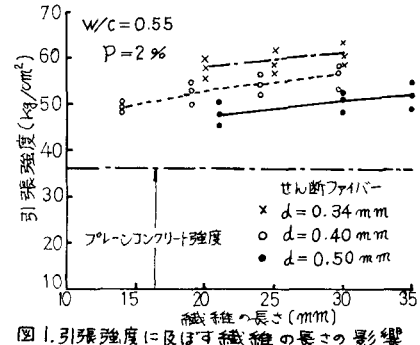


図1. 引張強度に及ぼす纖維の長さの影響

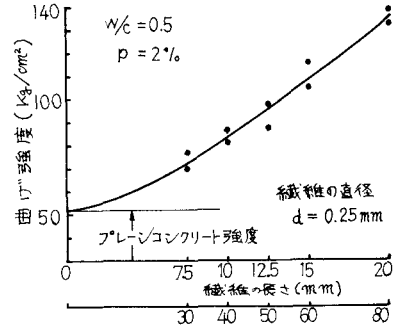


図2. 曲げ強度に及ぼす纖維の直径の影響

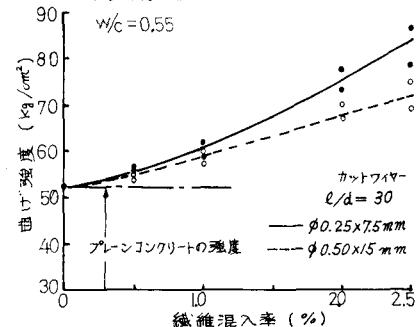


図3. 曲げ強度に及ぼす纖維の直径の影響

き、前者は後者に対して加算的に寄与していることが明らかである。一方、図5は同様にコンクリートにカットワイヤーをそれぞれ0.5～2%混入した場合の曲げ強度と織維混入率ならびに水セメント比との関係を示したものである。図より曲げ強度においても上記の関係が成立することが明らかである。

#### 4. 考察

以上の結果より、鋼織維補強コンクリートの引張強度が直徑が一定の場合、織維の長さやアスペクト比にはほとんど関係なく、織維の直徑と織維混入率に影響されること、即ち織維間隔の平方根の逆数と線形関係が成立するという事実は織維間隔説の妥当性を示すものである。一方、曲げ強度は織維の長さやアスペクト比とともに増大するばかりでなく、同一織維混入率で同一アスペクト比であっても織維の直徑が細いものを用いると強度が増加する。このことは鋼織維補強コンクリートの曲げ強度が鋼織維の混入率のみならず、任意断面における織維本数すなわち織維間隔によつて左右されることを示すものであつて、単に構成素材の容積比のみをパラメータとする混合則の適用が困難であることを示唆するものである。また鋼織維補強コンクリートの引張及び曲げ強度に及ぼすマトリックス強度の寄与が鋼織維による補強分に対して加算的となるという事実も上記の結論を裏付けけるものである。

#### 5. 鋼織維補強コンクリートの強度推定式

(1) 鋼織維補強コンクリートの引張強度の推定式は以下のように示されう。

$$f_t = f_m + K(1/\sqrt{S} - 1)$$

$f_m, f_t$ : 夫々プレーン及び鋼織維補強コンクリート(又はモルタル)の引張強度( $\text{kg}/\text{cm}^2$ )

$K$ : コンクリートの場合、せん断ワイヤーとカットワイヤーに対し、夫々 26 と 19

$S$ : 引張断面における織維間の平均間隔( $\text{cm}$ )で、次式を用ひる。

$$S = \frac{\pi}{\beta} \cdot \frac{d}{\sqrt{P}} \quad \left\{ \beta: \text{鋼織維の配向係数}, \text{アスペクト比を考慮して, } \beta = 0.002(L/d) + 0.4 \right.$$

$d, P$ : それぞれ、鋼織維の直徑( $\text{cm}$ )と容積百分率(%)

(2) 鋼織維補強コンクリートはりのひびわれ開始時及び最大荷重時のプレーンコンクリートに対する荷重の増分は中立軸より下の距離  $S$  で基盤目状に配置された全織維によつてのみたらされると仮定した場合:

ひびわれ時の荷重の増分( $\Delta P_0$ )と最大荷重時の荷重の増分( $\Delta P$ )は、

$$\Delta P_0 = P_0 - P_{mo} = \frac{b}{2\alpha} \cdot \gamma_a \cdot A \left( \frac{d}{2S} + 1 \right) \left( \frac{d}{S} + 1 \right)$$

$$\Delta P = P - P_m = \frac{3}{2} \cdot \frac{b}{2} \cdot \gamma_a \cdot A \cdot \frac{xd}{S} \left( \frac{xd}{S} + 1 \right)$$

$P_{mo}$  と  $P_0$ : プレーン及び鋼織維補強コンクリートはりのひびわれ開始荷重( $\text{kg}$ )

$P_m$  と  $P$ : プレーン及び鋼織維補強コンクリートはりの最大荷重( $\text{kg}$ )

$b, d$  と  $l$ : 夫々はり供試体の幅、高さ及び三分力載荷方法のスパン( $\text{cm}$ )

$A, \gamma_a$ : 夫々、鋼織維の表面積と鋼織維のマトリックスとの付着強度(せん断ワイヤーは  $\gamma_a = 30 \text{ kg}/\text{cm}^2$ 、カットワイヤーは  $\gamma_a = 25 \text{ kg}/\text{cm}^2$ )

$x$ : 最大荷重時ににおける中立軸の高さ( $\text{cm}$ )

一方、図6～7はそれぞれ鋼織維の種類と供試体の断面寸法の異なる鋼織維補強コンクリート梁の曲げ荷重と織維混入率との関係を示したものであり、図より推定値と実験値とがよく一致することが確認された。

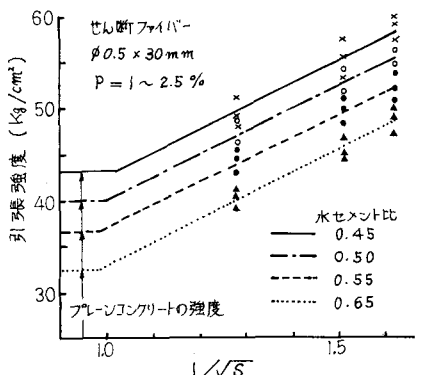


図4. 引張強度に及ぼすマトリックス強度の影響

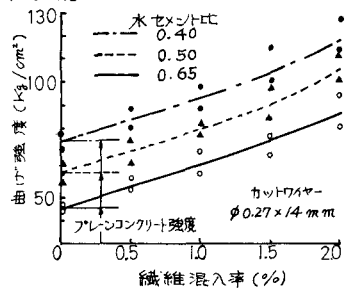


図5. 曲げ強度に及ぼすマトリックス強度の影響

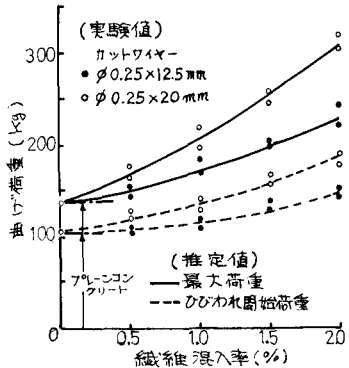


図6. 実験値と推定値の比較(5×5×35cm供試体)

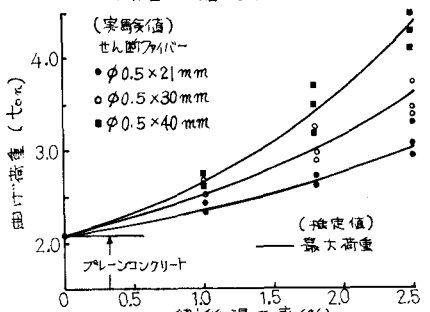


図7. 実験値と推定値の比較(10×10×40cm供試体)